

TRANSLASYONEL ÇALIŞMALAR İÇİN İN VİTRO NÖROBLASTOMA SAĞALTIM MODELİ*

In Vitro Neuroblastoma Therapy Model for Translational Studies

Yasemin BASKIN¹, Nur OLGUN²

ÖZET

Amaç: Bu çalışmanın amacı nöroblastomada yeni sağáltımların geliştirilmesi ya da uygulanan stratejilerin daha etkin kilinması için *in vitro* bir kanser sağaltım modeli oluşturmaktır.

Yöntem: Kelly ve SHSY5Y hücreleri; RPMI 1640 ve DMEM kültür ortamında üretilmiştir. Sağaltım modellerinin deneyel tasarılarında; TPOG-NBL 2003 Protokolü ve apoptozu farklı yolaklardan uyardığı bilinen kimyasallar kullanılmıştır. Anti kanser maddelerin sitotoksitesi etkileri XTT testi ile değerlendirilmiştir. Apoptotik hücre ölümü; Hoechst 33342 / Propidium iyodid ile; moleküler düzeyde “TUNEL” teknigi kullanılarak; erken safhaları “Annexin V” işaretlemesi ve flüoresan mikroskopu ile değerlendirilmiştir.

Bulgular: SHSY5Y hücrelerinin, *n-myc* sunumu nedeniyle kötü klinik gjidış beklenen Kelly hücrelerine göre VCR ve CARBO'ya daha az duyarlı olduğu, buna karşın DOX, ETOP ve CIS'e karşı daha duyarlı oldukları gösterilmiştir. Apoptoz yollığındaki etkileri tanımlanmış kimyasallardan DEX, ETOP, CAMP, ACD ve CYH'e karşı SHSY5Y hücreleri daha duyarlı bulunmuştur.

Sonuç: Kullanılan ilaç ve kimyasallara genetik özellikleri değişik hücrelerin tepkisi, farklı bulunmuştur. Bu ilaç ve kimyasalların etki yolakları ve hücrelerin genetik özelliklerini araştıran çalışmalar daha etkin ve kişiye özel sağaltımların gerçekleşmesini sağlayabilir. Translasyonel çalışmalar için klinikte kullanılan sağaltımların *in vitro* modellerinin oluşturulması çok önemli katkılar sunabilir.

Anahtar Sözcükler: Nöroblastoma, *in vitro* sağaltım modeli, translasyonel çalışmalar.

ABSTRACT

Objective: The aim of this study is to create an *in vitro* cancer therapy model of neuroblastoma for more effective applications or for developing new therapies.

Method: Kelly and SHSY5Y cells were grown using RPMI 1640 and DMEM. In therapy model design, TPOG- NBL 2003 Protocol and chemicals, those which are known to induce the apoptosis in different pathways, were used. Cytotoxic effects of anticancer substances were evaluated by XTT test. Apoptotic cellular death was evaluated by Hoechst 33342 / propidium iodide and by “*in situ* TdT-mediated dUTP nick end labeling technique” technic (TUNEL), while early stage of apoptosis was evaluated by Annexin V labeling using fluorescent microscope.

Results: SHSY5Y cells were found to be less susceptible to VCR and CARBO than Kelly cells, which were expected to show a poor clinical progress due to their NMYC expression, but more susceptible to DOX, ETOP and CIS. SHSY5Y cells were more susceptible to ACD, DEX, ETOP, CAMP, and CYH; which are chemicals with known effects on the apoptotic pathway.

Conclusion: The reactions of cells having genetically different characterizations against drugs and chemicals are different. Future studies concerning the efficacy of these drugs and chemicals and genetic properties of cells might help to develop more effective and personalized therapies. Creating *in vitro* models for translational studies on clinical therapies could be a great importance.

Key Words: Neuroblastoma, *in vitro* therapy model, translational research.

*Bu çalışma Dokuz Eylül Üniversitesi, Bilimsel Araştırma Desteği Fonu tarafından desteklenmiştir (Proje No: 03.KB. SAĞ.001).

GİRİŞ

Klinik çalışmalarında yapılan deneylerde yeni sağaltım stratejileri için genellikle deney hayvanları sıkılıkla da fareler kullanılmakta ancak tür özgünlüğü nedeniyle bu çalışmalarında elde edilen veriler tartışılmaktadır. Bu açıdan insan sağlığını ilgilendiren temel bilim ve hastalıklarda çoğu karmaşık sorunun en iyi adresi insan hücreleridir. Yeni gelişen teknolojiler metabolik yolakların hızlıca izlenebilmesine olanak tanıtmaktadır. İnsan hücresinin temel yaşam süreçlerinde, yapısal modülasyonları sağlayan ve etkin olan proteinleri saptama olanağı vermektedir. Gelişimsel biyoloji ve hastalıklarda çok sayıda karmaşık yolak, hücresel ve moleküler bağlamda özgündür. Örneğin tümör gelişimi, hücrenin tipine özgün olarak farklı şekilde düzenlenir (1-3).

Var olan yasalar yeni sağaltıcı etkenlerin, kliniğe ilaç olarak gelene kadar ağır sitotoksik testlerden geçmesini öngörmektedir. Hayvan deneyleri yerine hücre kültür tekniklerinin geliştirilmesi birincil araştırmalara daha fazla şans tanınmasına yol açmıştır. *In vitro* bir sitotoksisite, *in vivo* toksisite ile doğrudan bağlantılı olmasa da bileşigin içeriği ile ilgili bir fikir vermekte, seçici bir model oluşturmaktadır (4-7). Sitotoksisite deneyleri, çalışmalarında kullanılan maddeler ile ilgili elde edilen bilgilere dayanmaktadır. Hücrenin çoğalması (^3H timidin bağlanması), hücre metabolizması (boyanın indirgenmesi), hücre canlılığı (boya bozulması, hücre sayımları) gibi birçok parametre araştırılabilmektedir (8).

Doku kültür teknikleri, tıp ve endüstrinin alışlagelmiş uygulama alanlarından biridir ve uzun zamandır kullanılmaktadır. Ancak gelişen teknoloji, hücre temelli yöntemlerin gelişimi, "omic" teknolojileri ile olası tanısal ve sağaltım hedeflerinin araştırılması, yeni ilaç araştırmaları ve kinetikleri için hastalık ve sağaltım modellerinin *in vitro* ortamda oluşturulması; önemini daha da artırmaktadır. Doku kültür teknikleri hücresel aktivitenin izlenmesinde üstünlüğü olan bir tekniktir. Ancak bu yöntemin sınırlılıkları da önemle vurgulanmalıdır (8).

Gerek etik gerekçeler gerekse teknolojinin getirdiği uygulanabilirlik ve hız; klinik çalışmalarında yeni bir kavramı tanımlamıştır. Translasyonel çalışmalar olarak adlandırılan bu sisteme, her klinik kendi hasta grubu ve sağaltım sorunlarını, yine kendi grubu içinde olacak deneyel modellere aktararak çözmeye çalışmakta ve laboratuvar çalışmalarının sonuçları hızlıca klinik uygulamalara aktarılabilirmektedir. Bu gerçeklik içinde; kliniğe uygulanabilir deney modelleri sunmak önemli bir çalışma alanı olarak tanımlanmaktadır.

GEREÇ VE YÖNTEM

Kelly; Human neuroblastoma (Nmuc+, : N myc in der (17) hsr x100 kez çoğaltılmış) ve SHSY5Y; (Human neuroblastoma (Nmuc -, SK N SN nöroepitelyoma hücre hatlarından elde edilmiş, metastatik nöroblastoma) hücre soyları (DSMZ, Germany) RPMI 1640, %10 FCS ve DMEM, %15 FCS kültür ortamında, 37°C'de % 5 CO₂'li nemlendirilmiş ortamda üretilmiştir.

İşlem Basamakları

Nöroblastoma hücre dizilerinde, sağaltım modellerinin deneyel tasarımında; Türk Pediatric Onkoloji Grubu'nun "Nöroblastoma Sağaltım Protokolü" (TPOG-NBL 2003; Koordinatörler, Dr. Nur Olgun, Dr. Savaş Kansoy, Dr. Serap Aksoylar, Dr. Kamer Uysal) temel alınarak *in vitro* ortama uyarlanmıştır (9). Bu amaçla; Vinkristin (Vincrisrine-VCR Mayne Pharma Pty Ltd.Victoria, Avustralya) [30.00-0.23 nM], Etoposid (Etoposide-ETOP EBWE Pharma Ges. m.b. H. N AUSTRIA) [17.20.13 μM], Sisplatin (Cisplatin-CIS David Bull Laboratories, Victoria, Avustralya) [160-1.25 μM], Doksorubisin (Doxorubicin-DOXO Pharmacia Upjohn, Milano, İtalya) [6.00-0.125nM], Karboplatin (Carboplatin - CARBO David Bull Laboratories, Victoria, Avustralya) [16.00-0.125 nM]; konsantrasyon aralıklarında, sekiz farklı konsantrasyonda uygulanarak her deney ortamında tüm yoğunluklar en az üç kez yinelenmiştir. Her bir yoğunluk için en az üç farklı deney ortamında testler yinelenmiştir. Apoptozu farklı mekanizmalarla uyardığı bilinen kimyasallardan (Alexis Ldt, Nottingham, UK); Aktinomisin-D

(ACD-Actinomycin D) [100- 0.05 μ M], Kamptotesin (CAMP-Camptothezin) [20- 0.03 μ M], Siklohekzimit (CYH-Cycloheximide) [1.00mM-0.4 μ M], Deksame-tazon (DEX-Dexamethasone) [1000.05 μ M], Etoposit (ETOP-Etoposide) [4000.2 μ M]; yoğunluk aralıklarında, sekiz farklı konsantrasyonda uygulanmıştır. Her deney ortamında tüm yoğunluklar en az üçer kez yinelenmiştir ve her bir yoğunluk için en az üç farklı deney ortamında testler yinelenmiştir.

Hücre Ölümünü Değerlendiren Yöntemler

Antikanser maddelerin sitotoksite etkileri sodyum 3'-[1-(fenilaminokarbonil)-3,4-tetrazolium] -bis(4-metoksi-6-nitro) benzen sulfonik asid hidrat (XTT) testi ile değerlendirilmiştir. XTT hücre üreme kiti II işaretleme ayacı, (1mg/ml ,RPMI 1640 içinde (fenol kırmızısı eklenmemiş), steril) ve elektron-çiftleme ayacı taze olarak hazırlanmıştır (Roche Diagnostics GmbH, Mannheim, Germany). Hücre kültürleri 37°C ve % 5 CO₂'li ortamda 24 ila 48 saat tutulmuş; XTT işaretleme karışımından 50 μ l eklenerek 18 saat inkübasyon sürdürülmüştür. Spektrofotometrik optik yoğunluk daha önce tanımlandığı gibi ölçülmüştür. Apoptotik hücre ölümü; Hoechst 33342 / Propidium iyodid çekirdek boyaması ve flüoresan mikroskopu kullanarak morfolojik olarak değerlendirilmiştir. Hücre ölümlünün değerlendirilmesi ve niceliksel durumunun ortaya konması, klasik morfolojik ölçütler ve bunlarla birlikte işlevsel yaşamsal boyalar kullanılarak gerçekleştirılmıştır. Hoechst 33342 (bisbenzimide H 33342, Sigma), çift sarmallı DNA'nın AT'den zengin bölgelerine özgü bir boyadır. Bu yöntem, canlı, ölü ve apoptotik hücrelerin hücre zarlarının iki DNA boyası; propidium iyodid (Sigma) ve Hoechst 33342'e geçirgenliklerinin arasındaki farklılıklara dayanır. Hücreler oda sıcaklığında 20 dakikada fosfat tuzlu solüsyon (phosphate buffer saline-PBS) içindeki % 1-3'lük formaldehit içinde tespit edilmiş, tespit çözeltisi çekilerek, soğuk % 100 metanol eklenerek 20 dakika oda sıcaklığında bırakılmıştır. Metanol çekilerek, PBS ile 3 kez yıkanan hücreler 37°C'de 15 dakika Hoechst 33342 boyasında tutulmuş (5 g/mL PBS), üç kez PBS ile yıkanarak *Propidium iodide*

(50g/mL PBS) eklenmiştir. Hücreler Olympus BHZ, floresan ışık kaynağında, eksitasyon dalga boyu 330 nm ve engel filtresi 420 nm olan RFCA mikroskopu (Japan) ile değerlendirilmiştir. Apoptozun, tek bir hücrede moleküller düzeyde ölçülmesi amacıyla "in situ TdT-mediated dUTP nick end labeling technique" (TUNEL tekniği) kullanılmıştır. Metanolde % 3 H₂O₂ ve % 4 paraformaldehit, tespit edilen hücreler, % 0,1 sodyum sitrat içinde % 0,1 Triton X100, geçirgenleştirilmiş, nemlendirilmiş ortamda (portatif inkübör, Milipore Corporation Bredford, Massachusetts, USA), in situ cell death detection kit (Roche Applied Science) ile işaretlenerek, eksitasyon dalga boyu 450500 nm ve tarama dalga boyu 515565 nm olmak üzere floresan mikroskopunda (Olympus BHZ, RFCA Japan) değerlendirilmiştir. Apoptozun erken safhaları "Annexin V" işaretlemesi kullanılarak değerlendirilmiştir. Apoptozun erken döneminde değişiklikler hücrenin yüzeyinde oluşmaktadır. Plazma zarındaki değişikliklerden biri plazma zarının iç bölümünden dışına fosfatidilserinin (FS) translokasyonudur. Böylece FS, hücrenin dış yüzeyinde sergilenebilir hale gelir. "Annexin V", Ca²⁺'a bağlı bir fosfolipit bağlayan protein olup, FS'ye karşı yüksek ilgi gösterir. Böylece bu protein, FS'nin hücre yüzeyindeki varlığını göstermekte duyarlı bir prop olarak kullanılır. Metanolde % 3 H₂O₂ ve % 4 paraformaldehit, tespit edilen hücreler, % 0,1 sodyum sitrat içinde % 0,1 Triton X100, geçirgenleştirilmiş, nemlendirilmiş ortamda (portatif inkübör, Cat No. XX63 000 000 Milipore Corporation Bredford, Massachusetts, USA), Annexin-V-Fluorescein ve Propidiyum iyodid (Roche Diagnostics GmbH, Germany) ile işaretlenerek eksitasyon dalga boyu 450500 nm ve tarama dalga boyu 515565 nm olmak üzere floresan mikroskopunda (Olympus BHZ, RFCA Japan) sayılmıştır.

İstatistik

Sitotoksik deneylerde ilaçların sekiz ayrı yoğunlukta etkileri, kontrol hücreleri ile karşılaştırılmıştır. Her deney değişkeni için en az sekiz kuyucuk kullanılmış ve üç farklı günde deneyler tekrarlanarak ortalama sonuçlar kullanılmıştır. Apop-

totik yöntemlerde, her deney değişkeni için üç farklı kuyucuk ve üç ayrı günde yapılan deneylerin ortalaması kullanılmıştır. Farklı gruplar arasındaki anlamlılık için örnek sayısı otuzdan küçük olan deneylerde Mann-Whitney U; örnek sayısı otuzdan fazla olan deneylerde Student's t testi ($p<0,05$) yapılmıştır.

BULGULAR

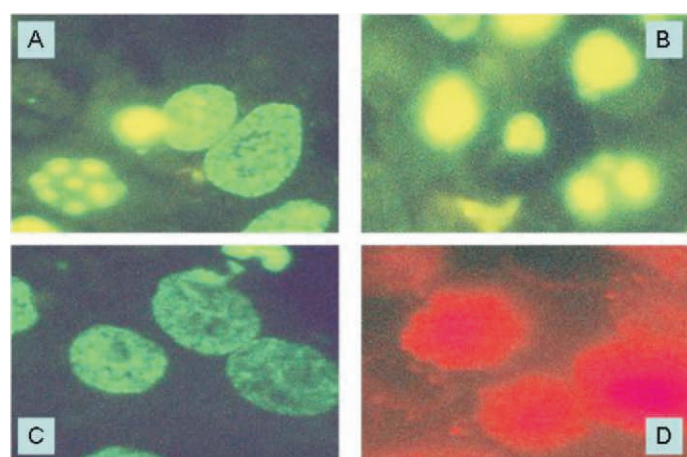
Antikanser Maddelerin Neden Olduğu Apoptozun Morfolojik Özellikleri

Canlı hücreler, Hoechst 33342 ve Propidium Iodid (HOE/PI) ile boyandıklarında, çekirdekleri olağan, mavi/yeşil soluk boyalımiş düzenli kromatin yapıları olan bir morfoloji sergilerler (Şekil 1A). Apoptotik sürecin erken evresindeki hücrelerin çekirdek ve sitoplazma zarları sağlamdır. Ancak çekirdek içinde kromatin yoğunlaşması gözlenir. Hücreler apoptozun geç evrelerinde (Şekil 1B), sitoplazmik bir zar ile çevrilmiş küçük çekirdeksel yapılar olarak tanımlanan çekirdeksel parçaların gösterirler. Antikanser ilaçlarla 24 saat süresince bekletilen nöroblastoma hücrelerinde, morfolojik değişimler gözlenir (Şekil 1C). Nekrotik hücreler; canlı hücrelere karşı daha küçük bir sitoplazma; tamamen sağlam bir çekirdek ile hasarlı bir sitoplazma zarı olarak belirgin bir hücre morfolojisini sergilerler (Şekil 1D).

Apoptozun erken döneminde plazma zarındaki değişikliklerinden biri, plazma zarının iç bölümünden dışına fosfatidilserinin (FS) translokasyonudur. Böylece FS, hücrenin dış yüzeyinde sergilendir hale gelir ve işaretleyici annexin V nedeniyle dış yüzeyinde yeşil fluoresans verirler. Apoptoza girmeyen hücreler yalnızca ikinci boyama ile belirlenir ve PI nedeniyle kırmızı fluoresans verirler (Şekil 2A). Apoptozun erken döneminde olup etkilenen hücreler yeşil flüoresans vermektedirler (Şekil 2B). Apoptoz ile uyarılmış hücrelerde, kırlan DNA dizilerine işaretli nükleotidlerin *in situ* yerleştirilmesi sonucu yeşil flüoresans verirlerken apoptoza girmeyen hücreler için ikinci bir boyama PI ile yapılmıştır ve kırmızı flüoresans verirler (Şekil 2C). TUNEL pozitif apoptotik hücreler yeşil flüoresans ile görülmektedirler (Şekil 2D).

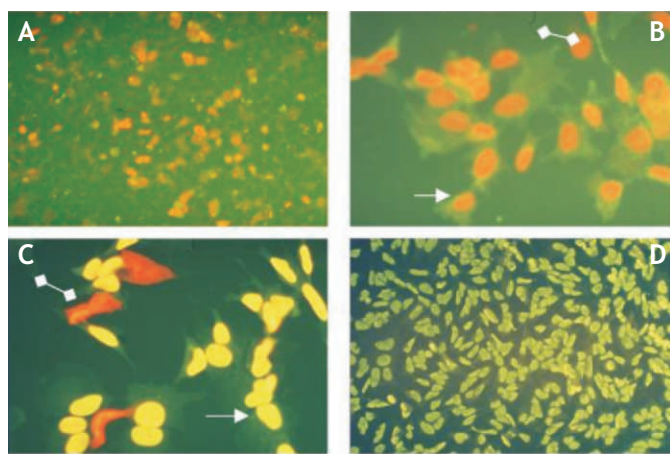
Nöroblastoma Sağaltımında Yaygın Olarak Kullanılan İlaçların SHSY5Y Ve Kelly Hücre Hatlarında *In Vitro* Hücre Ölümü Üzerine Etkileri

Türk Pediatrik Onkoloji Grubu (TPOG) 2003 nöroblastoma protokolünde yer alan ve bu hastalığın sağaltımında temel olarak kullanılan antikanser ilaçlar etoposite (ETOP-EBEWE), vinkristin (VCR), karboplatin (CARBO), doksorubisin (DOXO) ve sisplatinin (CIS) farklı dozları *in vitro* olarak hücre hatlarına uygulanmış ve doz-yanıt eğrileri çizilmiştir.



Şekil 1. Neuroblastoma hücrelerinde görülen morfolojik değişimler.

Hücre morfolojilerindeki özellikler;
 (A): geç evre apoptotik hücre;
 (B): erken evre apoptotik hücre;
 (C): normal yaşayan hücre;
 (D): geç evre nekrotik hücre olarak tanımlanmıştır ($\times 40$ büyütme). Neuroblastoma hücreleri % 5 temel besleyici ortamda (C); 6 saat antikanser madde ile (B); 24 saat antikanser madde ile (A); 48 saat antikanser madde ile (D) tutulan hücreler sabitlenip Hoechst 33342 ve PI ile boyanmıştır (yöntemlerde ayrıntılı olarak tanımlanmıştır).



Şekil 2. Nöroblastoma hücrelerinde Etoposit'in neden olduğu apoptozun morfolojik özellikleri.

10 μ M etoposit ile uyarılan nöroblastoma hücreleri 4 saat sonra Annexin V ile boyanmış ve 24 saat sonra TUNEL yöntemi ile değerlendirilmiştir.

Beyaz ok apoptotik; köşeli ok normal hücreleri sergiler.

A) kontrol,

B) Annexin V ve PI ile boyalı etkilenmiş hücreler,

C) TUNEL ve PI ile boyanmış etkilenmiş hücreler,

D) Yalnızca TUNEL ile boyanmış etkilenmiş hücreleri göstermektedir.

SHSY5Y hücrelerinin artısını % 50 durdurulan ilaç yoğunlukları VCR, DOXO, CIS, ETOP, CARBO için sırasıyla; 1.62, 27.58, 4160, 3900 ve 1.1 nM olarak saptanmıştır. Aynı deney ortamlarında Kelly hücrelerinde sırasıyla 1.40, 28.57, 4600, 32000 ve 0.77 nM olarak bulunmuştur. Nöroblastoma hücrelerinin IC₅₀ dozları Tablo 1'de gösterilmiştir.

Apoptozu Farklı Mekanizmalarla Uyardığı Bilinen Kimyasallarla Etkilenen Nöroblastoma Hücrelerinin Doza Bağlı Yaşayabilirlikleri

Apoptoz üzerine etki yolları tanımlanmış olan kimyasallardan antienflamatuvlar etkisi bilinen ve glukokortikoid reseptörlerini etkinleştirerek apoptoza yol açan deksametazon (DEX), Nükleik asid baskılayıcı aktinomisin D (ACD), topoizomeraz 1 baskılayıcı kamptotesin (CAMP), protein sentez baskılayıcı sikloheksimitt (CYH), topoizomeraz II baskılayıcı etoposid (ETOP); uygulanan SHSY5Y ve Kelly hücrelerinin doza bağlı olarak artan hücre ölüm yanıkları olmuştur. SHSY5Y hücrelerinin artısını % 50 durdurulan ilaç yoğunlukları DEX, ETOP, CAMP, CYH, ACD için sırasıyla; 0.97, 4.9, 0.25, 2.90 ve 0.13 μ M olarak saptanmıştır. Aynı deney ortamlarında Kelly hücrelerinde sırasıyla 2.11, 29.4, 0.53, 9.68 ve 0.40 μ M olarak bulunmuştur.

Yüksek doz etkilerinde göze çarpan önemli bir özellik de SHSY5Y ile Kelly hücreleri arasındaki duyarlılık farkının belirli bir dozdan sonra tersine değiş-

mesi olmuştur. ETOP için 44 μ M, CAMP için 2.2 μ M, CYH için 111 μ M, ACD için 3.7 μ M ve DEX için 11.1 μ M ve daha yüksek yoğunluklarda SHSY5Y hücreleri, Kelly hücrelerinden hücresel ölüme daha dirençli ve bu değerlerden daha düşük dozlarda tersine SHSY5Y hücreleri Kelly hücrelerinden daha duyarlı bulunmuştur. Bu durum, literatürdeki ve bizim çalışmamızdaki apoptotik yanıt dozlarında da gözlediğimiz bir olgudur. İlgili kimyasalların nöroblastoma hücrelerindeki IC₅₀ dozları Tablo 2'de gösterilmiştir.

Tablo 1. Sağaltı bileşenlerinin SHSY5Y ve Kelly hücrelerindeki IC₅₀ dozları

Sağaltı bileşenlerinin SHSY5Y ve Kelly hücrelerindeki IC₅₀ dozları*

Etken	Sitotoksik IC ₅₀ dozları (nM)	
	SHSY5Y	Kelly
VCR	1.62	1.40
DOXO	27.58	28.57
CIS	4160	4600
ETOP (EBEWE)	3900	32000
CARBO	1.10	0.77

* Etkenlerin yoğunluğuna karşı yaşayan hücrelerin yüzdesi (% yaşayan hücre) olarak grafiklenen her bir değer en az üç ölçüm sonucunda türetilmiştir. Kontrol hücrelerine karşı, hücresel proliferasyon % 50 durdurulan etken yoğunluğu (nM) sitotoksik (IC₅₀) dozu olarak kaydedilmiştir.

Tablo 2. Apoptotik kimyasal bileşenlerin SHSY5Y ve Kelly hücrelerindeki IC₅₀ dozları

Apoptotik kimyasal bileşenlerinin SHSY5Y ve Kelly hücrelerindeki IC ₅₀ dozları*		
Etken	Sitotoksik IC ₅₀ dozları (μM)	
	SHSY5Y	Kelly
DEX	0.97	2.11
ETOP	4.9	29.4
CAMP	0.25	0.53
CHY	2.90	9.68
ACD	0.13	0.40

* Etkenlerin yoğunluğuna karşı yaşayan hücrelerin yüzdesi (% yaşayan hücre) olarak grafiklenen her bir değer en az üç ölçüm sonucunda türetilmiştir. Kontrol hücrelerine karşı, hücresel proliferasyonu % 50 durduran etken yoğunluğu (μM) sitotoksik (IC₅₀) dozu olarak kaydedilmiştir.

TARTIŞMA

Nöroblastoma çocukluk çağının en sık görülen ekstrakraniyal solid tümörüdür. Nöral krestten kaynaklanan bu tümörler biyolojik ve klinik olarak farklı özellik göstermektedirler. İyi prognostik özellik taşıyan grupta TrkA ekspresyonu, hiper-diploidi, iyi histoloji görülür; differansiyasyon ve apoptoza yatkındır. Kötü prognostik özellik gösteren grupta, MYCN amplifikasyonu, 1p delesyonu, TrkB ekspresyonu egemendir; metastaz ve kötü прогноз sıklıkla gözlenmektedir (10).

Nöroblastoma, doğal olarak spontan regresyona gidebilir. Bu süreçte diferansiyasyon ve/veya programlanmış hücre ölüm yolaklarının rolü olabileceği tartışılmaktadır (11, 12). Ancak kanserlerde görülen spontan regresyonların doğası henüz anlaşılamamıştır. Buna karşın nöroblastomada tanımlanan, büyümeye faktörleri, retinoidler gibi mikroçevre bileşenlerinin, hücre yüzey reseptörlerinin kompozisyonunu değiştirerek (Trk A,B,C) hücrenin diferansiyasyon, apoptoz ya da proliferasyon yolaklarından birine geçişini düzenledikleri gösterilmiştir (13).

Bulgularımız, SHSY5Y hücrelerinin, NMYC sunumu nedeniyle kötü klinik geliş beklenen Kelly hücrelerine göre VCR ve CARBO'ya daha az duyarlı olduğunu, buna karşın DOX, ETOP ve CIS'e karşı daha duyarlı olduklarını göstermiştir. Apoptoz yolağındaki

etkileri tanımlanmış kimyasallardan DEX, ETOP, CAMP, ACD ve CYH'e karşı SHSY5Y hücreleri daha duyarlı bulunmuştur. Bu açıdan sağaltıma dirençli olgularda özellikle ETOP ve CYH etkisinde gözlenen farklılık açısından önemli bir hedef olarak görülmektedir.

Kullanılan ilaç ve kimyasallara, genetik özellikleri farklı hücrelerin tepkisi farklı bulunmuştur. Bu ilaç ve kimyasalların etki yolakları ve hücrelerin genetik özelliklerini araştıran çalışmalar daha etkin ve kişiye özel sağaltıların gerçekleşmesini sağlayabilir.

Nöroblastoma sağaltım modelinde, apoptotik yolak, etkili hedef molekülün (gen/protein) saptanması, etki mekanizmasının açıklanması ve sağaltımsal yeni hedeflerin belirlenmesinde katkı sağlayacaktır. Translasyonel çalışmalar için klinike kullanılan sağaltıların *in vitro* modellerinin oluşturulması çok önemli katkılar sağlayabilir. Bu şekilde bilgiler klinikten laboratuvara ve yeniden kliniğe daha etkin dönebilir.

KAYNAKLAR

- Kim TK. Chemical genomics and medicinal systems biology: chemical control of genomic Networks in human systems biology for innovative medicine. Journal Of Biochemistry And Molecular Biology 2004; 37 (1): 53-58.
- Strausberg R and Schreiber S. From knowing to controlling: A path from genomics to drugs using small molecule probes. Science 2003; 300:294295.
- Swedlow, J, Goldberg, I, Brauner, E, and Sorger P. Informatics and Quantitative Analysis in Biological Imaging. Science 2003; 300: 100-102.
- Fic M, Podhorska-Okolow M, Dziegieł P, Gebarowska E, Wysocka T, Drag-Zalesinska M, Zabel M. Effect of melatonin on cytotoxicity of doxorubicin toward selected cell lines (human keratinocytes, lung cancer cell line A-549, laryngeal cancer cell line Hep-2). In Vivo, 2007; 21(3): 513-521.
- Fassler C, Gill CI, Arrigoni E, Rowland I, Amado R. Fermentation of resistant starches: influence of *in vitro* models on colon carcinogenesis. Nutr Cancer. 2007;58(1):85-92.

6. Zhang Y, Chen W, Zhang J, Liu J, Chen G, Pope C. In vitro and in vivo toxicity of CdTe nanoparticles. *J Nanosci Nanotechnol.* 2007; 7(2): 497-503.
7. Stroncek DF, Jin P, Wang E, Jett B. Potency analysis of cellular therapies: the emerging role of molecular assays. *J Transl Med.* 2007; 5: 24-24.
8. Celis JE. Cell Biology a Laboratory Handbook. First Ed. California: Academic Pres, 1994: 680.
9. Olgun N, Kansoy S, Aksoylar S et al. Experience of the İzmir Pediatric Oncology Group on neuroblastoma IPOG-NBL92 Protocol. *Pediatric Hematology and Oncology* 2003; 20 (3): 211-219.
10. Ho R, Eggert A, Hishiki T et al. Advances in brief resistance to chemotherapy mediated by TrkB in neuroblastomas1. *Cancer Research* 2002; 62: 6462-6466.
11. Maris JM, Hogarty MD, Bagatell R, Cohn SL. Neuroblastoma. *Lancet.* 2007; 369 (9579): 2106-2120.
12. Warnat P, Oberthuer A, Fischer M, Westermann F, Eils R, Brors B. Cross-study analysis of gene expression data for intermediate neuroblastoma identifies two biological subtypes. *BMC Cancer.* 2007; 7(1): 89-100.
13. Evans AE. Neuroblastoma: A historical perspective 18641998, In Brodeur GM, Sawada T, Tsuhida Y, Vaute PA eds. *Neuroblastoma.* Amsterdam: Elsevier Science BV, 2000: 10-15.